Gravitational wave from a cosmological phase transition for neutrino mass generation

瀬戸 治(北海道大)

With: 岡田宣親(アラバマ大)

Refs: arXiv 1807.00336

§ はじめに

微小ニュートリノ質量

- ニュートリノ振動
 - \longrightarrow 小さい($< 0.1 \, eV$)がゼロでない
- ・標準模型ではゼロ質量

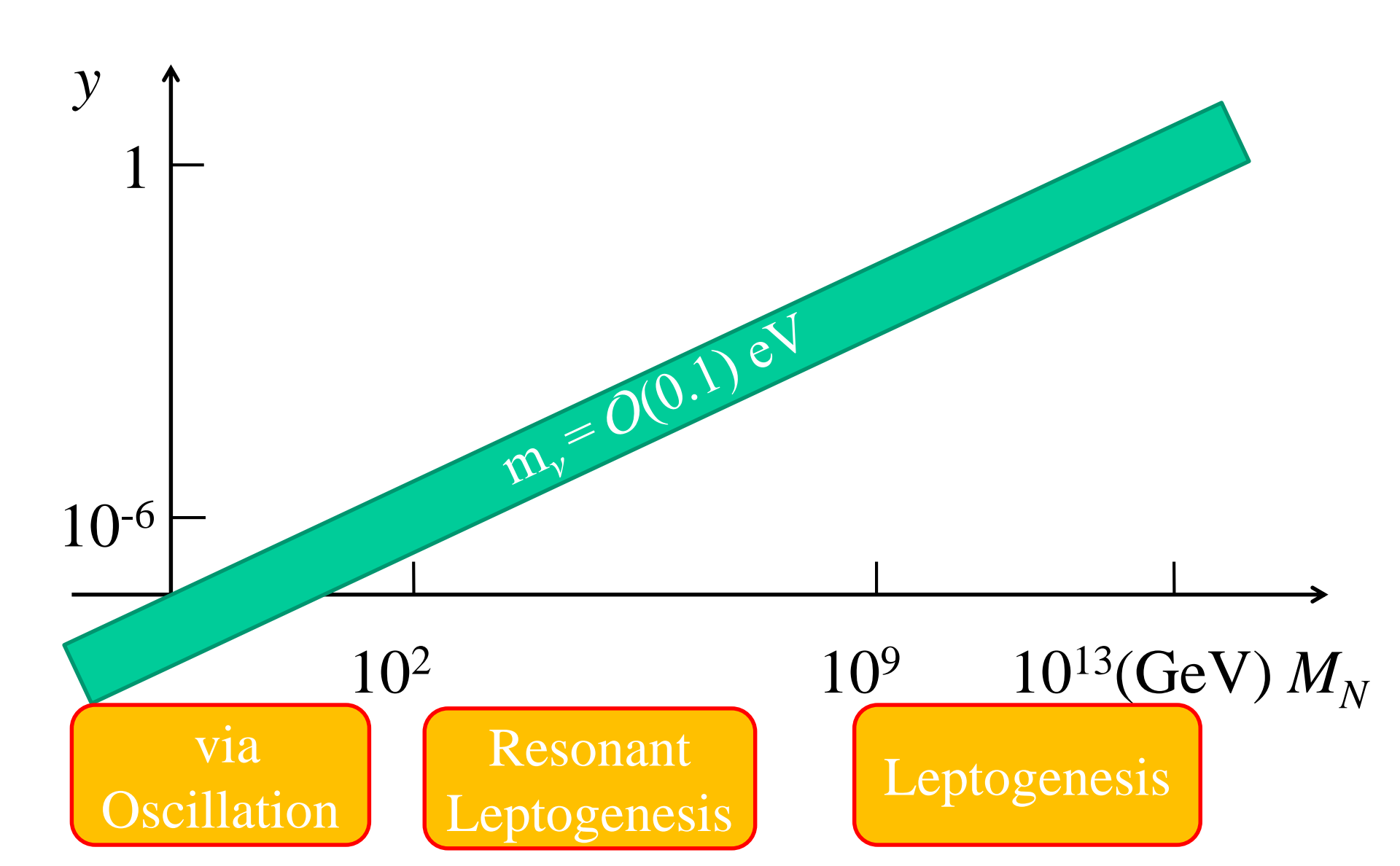
・シーソー機構: Majorana の場合

[Yanagida, Gell-Mann et al (1979)]

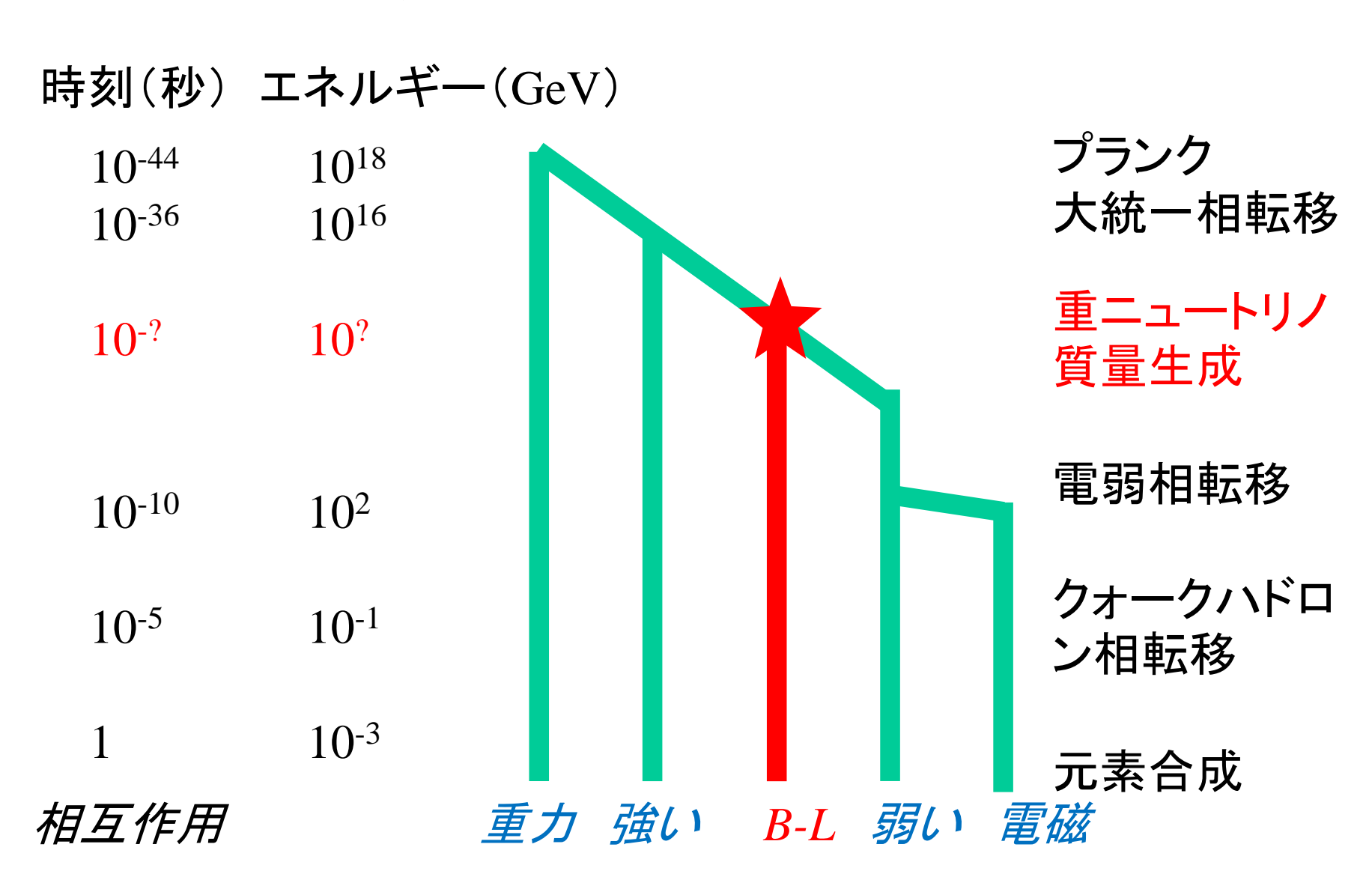
$$\begin{pmatrix} 0 & yv \\ yv & M_N \end{pmatrix} \rightarrow \begin{pmatrix} -(yv)^2/M_N & 0 \\ 0 & M_N \end{pmatrix}$$

重い右巻きニュートリノ質量 N

M_N の値?



初期宇宙での相転移

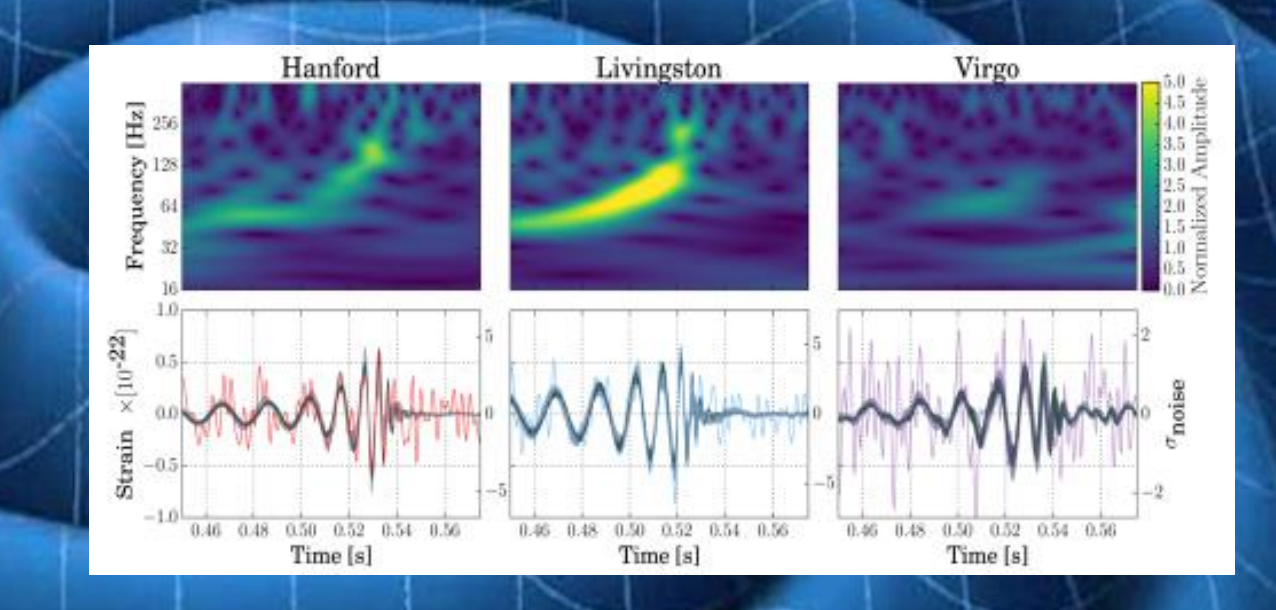


何故、宇宙論的重力波?

• 検出可能

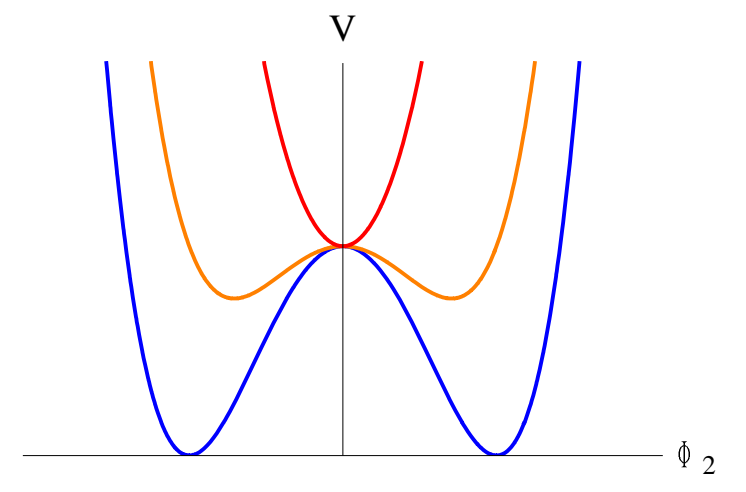
• 透過力

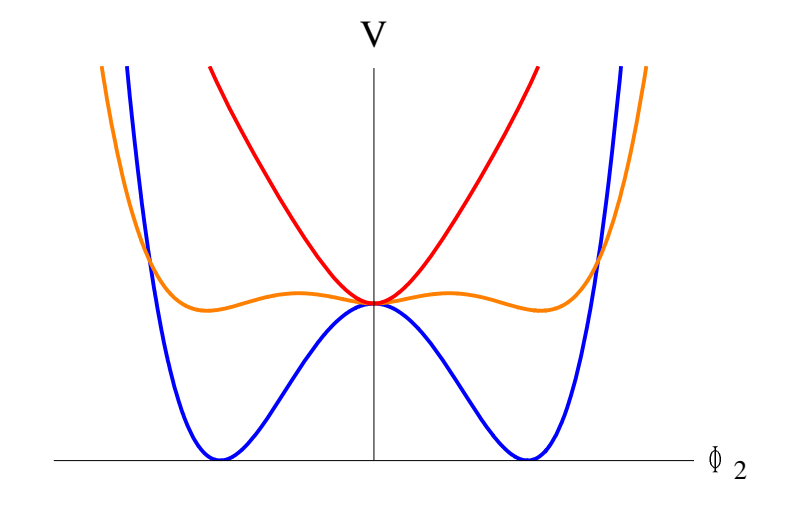
- 生成可能
 - 宇宙論的
 - > インフレーション
 - ▶位相欠陥
 - ▶ 強い一次相転移 → 非等方圧力 → 重力波
 - **>** ...



一次か?

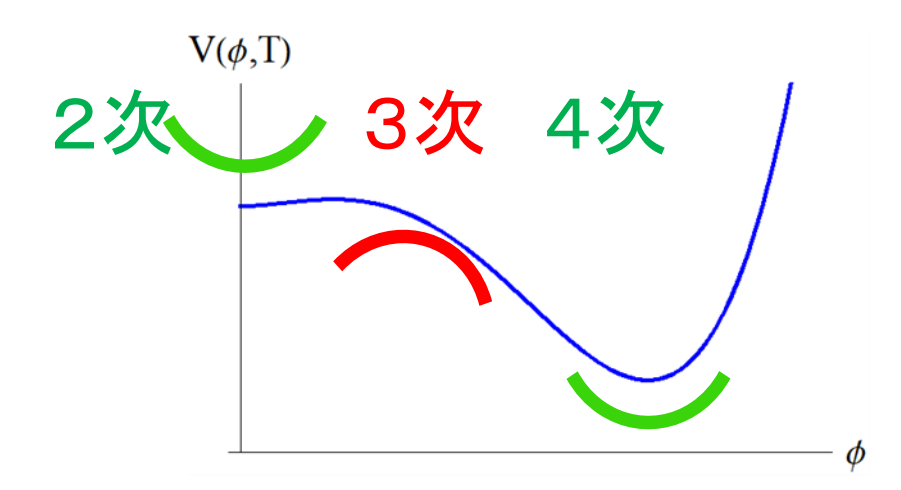
• 有限温度ポテンシャル





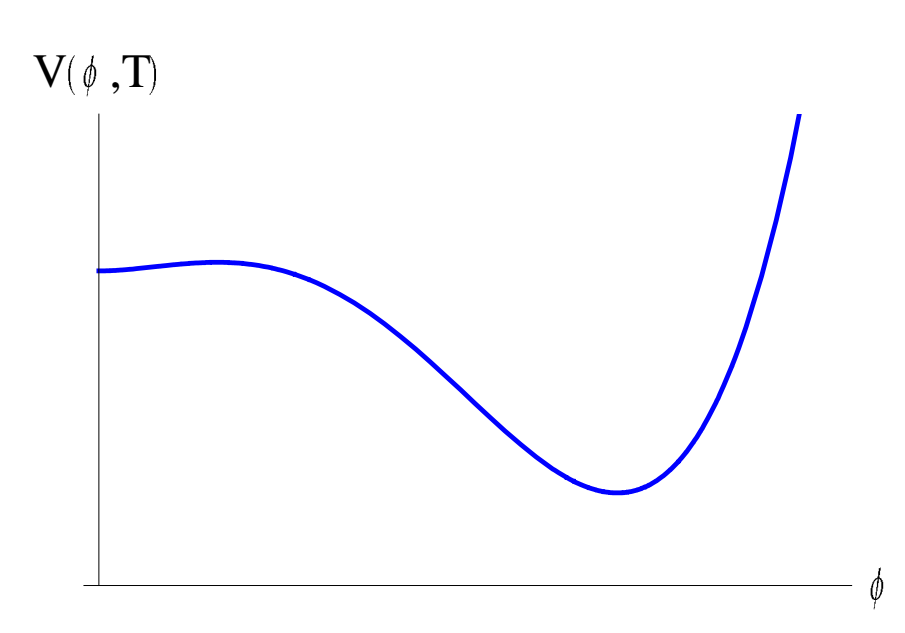
• 3次項

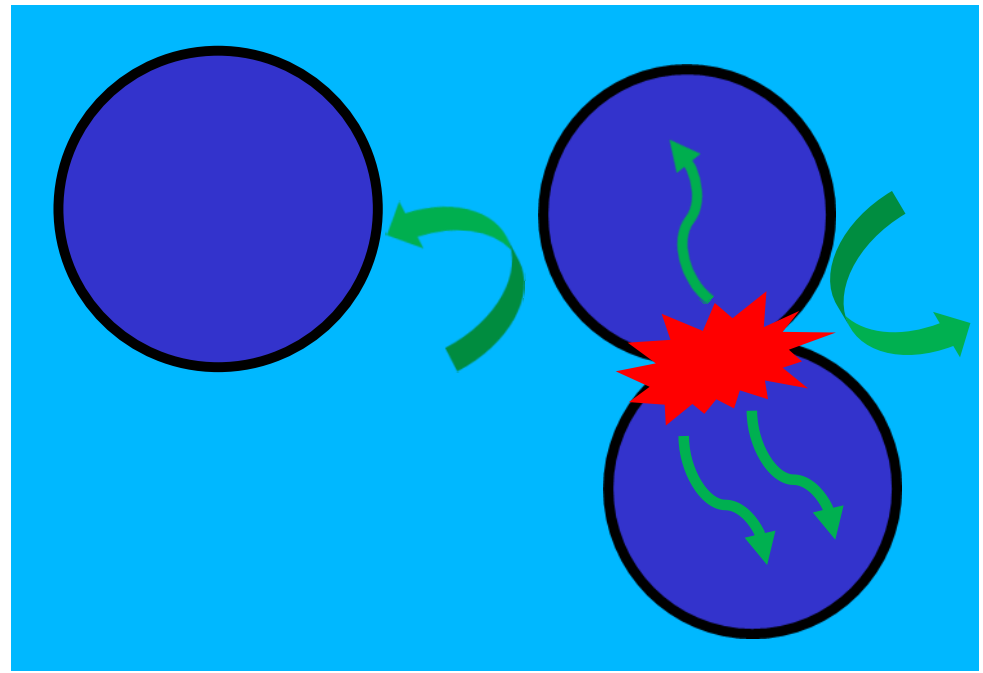
- 温度補正
- Tree level 相互作用



一次相転移からの重力波

有限温度ポテンシャ泡形成 ルにおける障壁と一 次性





- 泡の衝突
- 音波
- 乱流

重力波スペクトル

- ・輻射優勢宇宙において、
- 輻射のエネルギー密度 $\rho_{\rm rad} = \frac{\pi^2 g_*}{20} T^4$
- 潜熱密度

$$\epsilon = \left(V - T \frac{\partial V}{\partial T} \right) \Big|_{\{\phi_{\text{high}}, T_{\star}\}} - \left(V - T \frac{\partial V}{\partial T} \right) \Big|_{\{\phi_{\text{low}}, T_{\star}\}} \quad \alpha \equiv \frac{\epsilon}{\rho_{\text{rad}}}$$

$$\alpha \equiv \frac{\epsilon}{\rho_{\rm rad}}$$

- 遷移速度

$$\left. \frac{\beta}{H_{\star}} \simeq \left. T \frac{dS}{dT} \right|_{T_{\star}} = \left. T \frac{d(S_E^3/T)}{dT} \right|_{T_{\star}}$$

重力波スペクトル

• 泡の衝突 [Kosowsky and Turner (1993), Huber and Konstandin (2008)]

$$f_{\rm peak} \simeq 17 \left(\frac{f_{\star}}{\beta}\right) \left(\frac{\beta}{H_{\star}}\right) \left(\frac{T_{\star}}{10^8 \,\text{GeV}}\right) \left(\frac{g_{*}}{100}\right)^{1/6} \,\text{Hz},$$
$$h^2 \Omega_{GW}(f_{\rm peak}) \simeq 1.7 \times 10^{-5} \kappa^2 \Delta \left(\frac{\beta}{H_{\star}}\right)^{-2} \left(\frac{\alpha}{1+\alpha}\right)^2 \left(\frac{g_{*}}{100}\right)^{-1/3},$$

• 音波[Hindmarsh et al (2014, 2015), Caprini et al (2016)]

$$f_{\rm peak} \simeq 19 \frac{1}{v_b} \left(\frac{\beta}{H_{\star}}\right) \left(\frac{T_{\star}}{10^8 \,\text{GeV}}\right) \left(\frac{g_{*}}{100}\right)^{1/6} \,\text{Hz},$$

 $h^2 \Omega_{GW}(f_{\rm peak}) \simeq 2.7 \times 10^{-6} \kappa_v^2 v_b \left(\frac{\beta}{H_{\star}}\right)^{-1} \left(\frac{\alpha}{1+\alpha}\right)^2 \left(\frac{g_{*}}{100}\right)^{-1/3}.$

• **无流** [Kamionkowski et al (1994), Caprini et al (2009)]

$$\begin{split} f_{\rm peak} &\simeq 27 \frac{1}{v_b} \left(\frac{\beta}{H_{\star}} \right) \left(\frac{T_{\star}}{10^8 \, {\rm GeV}} \right) \left(\frac{g_{*}}{100} \right)^{1/6} {\rm Hz}, \\ h^2 &\Omega_{GW}(f_{\rm peak}) \simeq 3.4 \times 10^{-4} v_b \left(\frac{\beta}{H_{\star}} \right)^{-1} \left(\frac{\kappa_{\rm turb} \alpha}{1+\alpha} \right)^{3/2} \left(\frac{g_{*}}{100} \right)^{-1/3}. \end{split}$$

§ U(1)_{B-L} の破れ起源の重力波

U(1)_{B-L} ゲージ対称性

- 最も単純な anomaly-free U(1) gauge 理論
- ・ 右巻きニュートリノの3世代構造
 - 右巻きニュートリノ質量起源

$$m_{N_R^i} = \frac{Y_{N^i}}{\sqrt{2}} v_2$$

- B-L 荷を持つヒッグス場 "+2" *Φ*₂
- $\mathcal{L} = y L \Phi N + \frac{1}{2} Y_N N \Phi_2 N$

-1 +2 -1

- 余分な中性ゲージボソン

$$M_{Z'}^2 = 4g_{B-L}^2 v_2^2$$

模型: next to minimal

構成粒子

	$SU(3)_c$	$SU(2)_L$	$\mathrm{U}(1)_Y$	$U(1)_{B-L}$
q_L^i	3	2	1/6	1/3
u_R^i	3	1	2/3	1/3
d_R^i	3	1	-1/3	1/3
ℓ_L^i	1	2	-1/2	-1
e_R^i	1	1	-1	-1
H	1	2	-1/2	0
N_R^i	1	1	0	-1
Φ_1	1	1	0	+1
Φ_2	1	1	0	+2

湯川相互作用

$$\mathcal{L}_{Yukawa} \supset -\sum_{i=1}^{3} \sum_{j=1}^{3} Y_{D}^{ij} \overline{\ell_{L}^{i}} H N_{R}^{j} - \frac{1}{2} \sum_{k=1}^{3} Y_{N^{k}} \Phi_{2} \overline{N_{R}^{k}}^{C} N_{R}^{k} + \text{H.c.}$$

ヒッグスポテンシャル

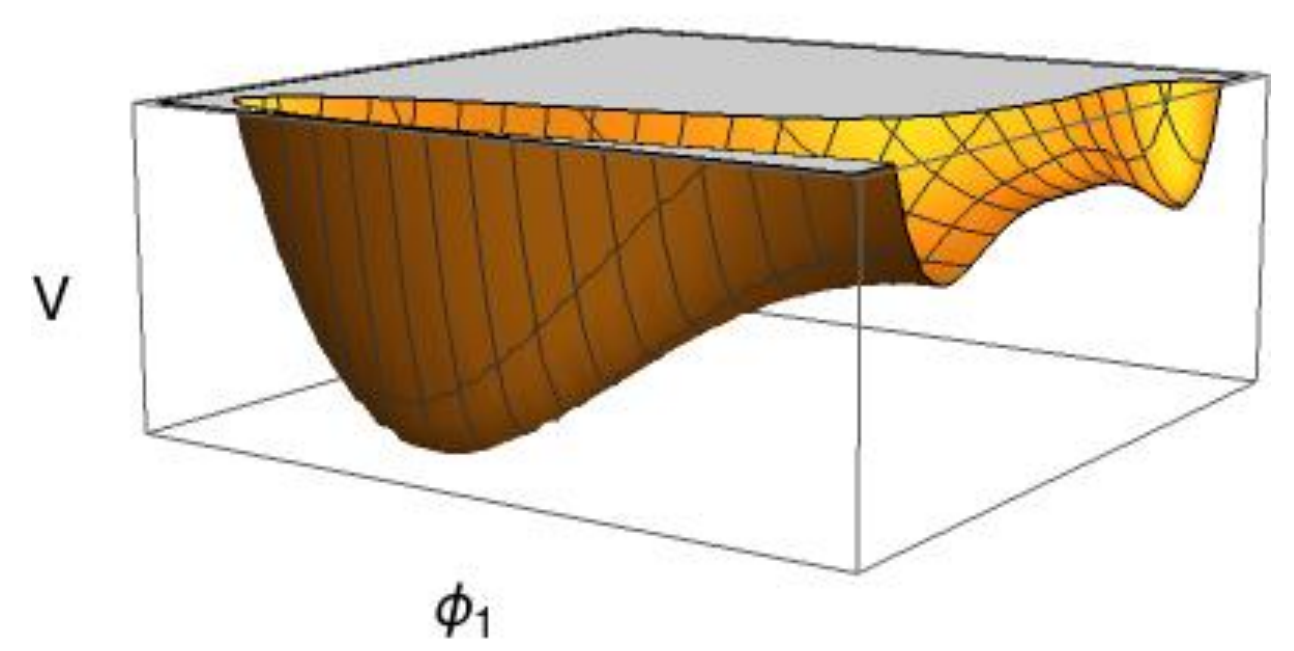
$$\begin{split} V(\Phi_1,\Phi_2) = & \frac{1}{2} \lambda_1 (\Phi_1 \Phi_1^{\dagger})^2 + \frac{1}{2} \lambda_2 (\Phi_2 \Phi_2^{\dagger})^2 + \lambda_3 \Phi_1 \Phi_1^{\dagger} (\Phi_2 \Phi_2^{\dagger}) \\ & + M_{\Phi_1}^2 \Phi_1 \Phi_1^{\dagger} - M_{\Phi_2}^2 \Phi_2 \Phi_2^{\dagger} - A(\Phi_1 \Phi_1 \Phi_2^{\dagger} + \Phi_1^{\dagger} \Phi_1^{\dagger} \Phi_2). \end{split}$$

ヒッグスポテンシャル

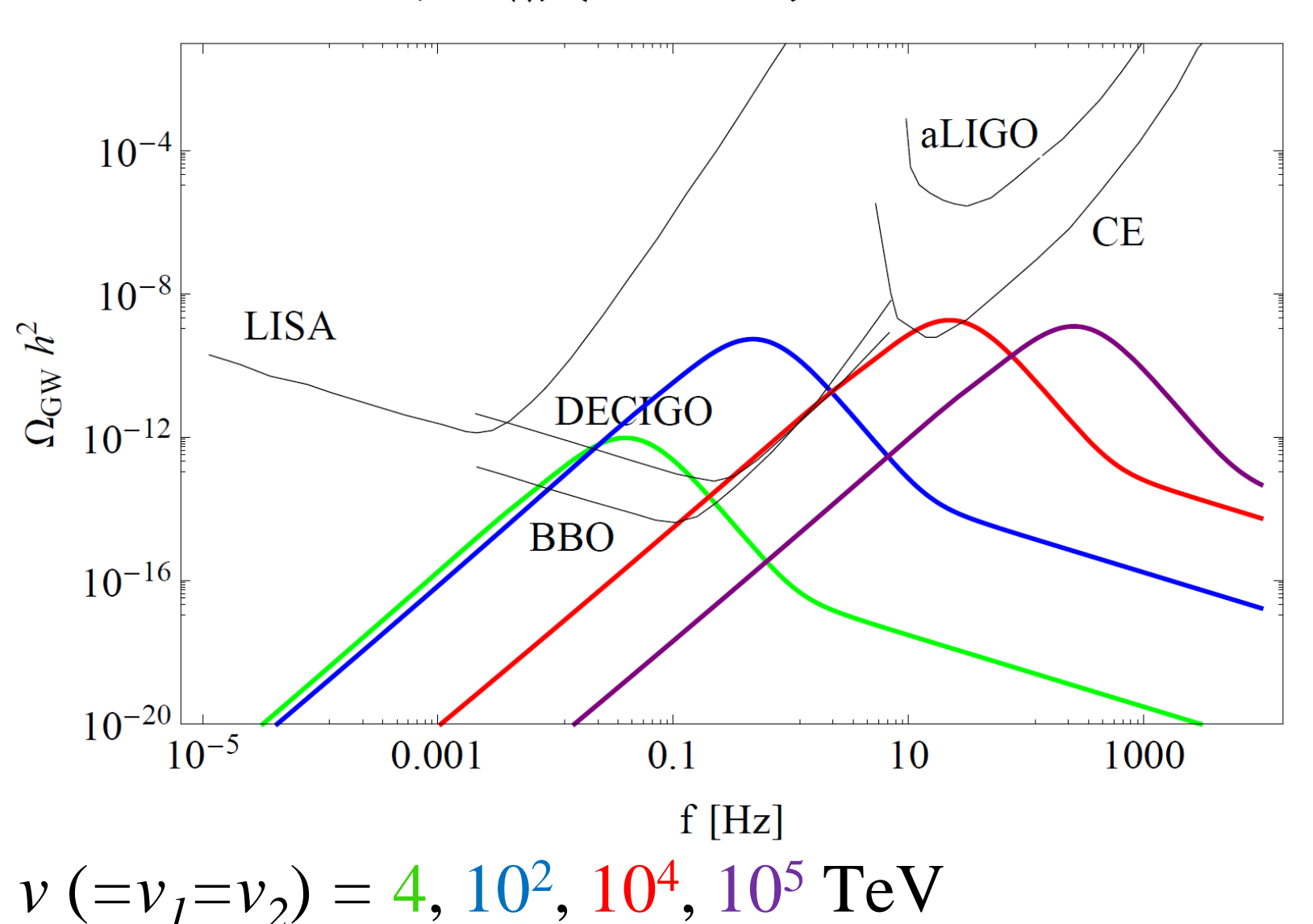
$$V(\Phi_{1}, \Phi_{2}) = \frac{1}{2} \lambda_{1} (\Phi_{1} \Phi_{1}^{\dagger})^{2} + \frac{1}{2} \lambda_{2} (\Phi_{2} \Phi_{2}^{\dagger})^{2} + \lambda_{3} \Phi_{1} \Phi_{1}^{\dagger} (\Phi_{2} \Phi_{2}^{\dagger})$$

$$+ M_{\Phi_{1}}^{2} \Phi_{1} \Phi_{1}^{\dagger} - M_{\Phi_{2}}^{2} \Phi_{2} \Phi_{2}^{\dagger} - A(\Phi_{1} \Phi_{1} \Phi_{2}^{\dagger} + \Phi_{1}^{\dagger} \Phi_{1}^{\dagger} \Phi_{2}).$$

$$\boldsymbol{\phi_{2}}$$



重力波スペクトル



§ まとめ

- B-L ゲージ対称性の破れは
 - 右巻きニュートリノに質量を与え、
 - 強い一次相転移で、
 - 検出可能なほど大振幅な重力波を生成した

かもしれない...

- ・この重力波の検出は
 - 加速器で探れない基礎物理
 - 物質反物質の起源
 - ニュートリノ質量の起源
 - の解明への貢献期待大

註)ゲージ依存問題 [e.g., Chiang and Senaha (2017)]